## 第2回 吸光分析

## 紫外・可視吸光光度法

## 色の足し算,引き算

☆ 青 + 緑 = 青緑

☆ 赤 + 青 = 紫色

☆ 赤 + 緑 = 黄色

☆ 赤 + 緑+青 = 白色光

## 可視光線

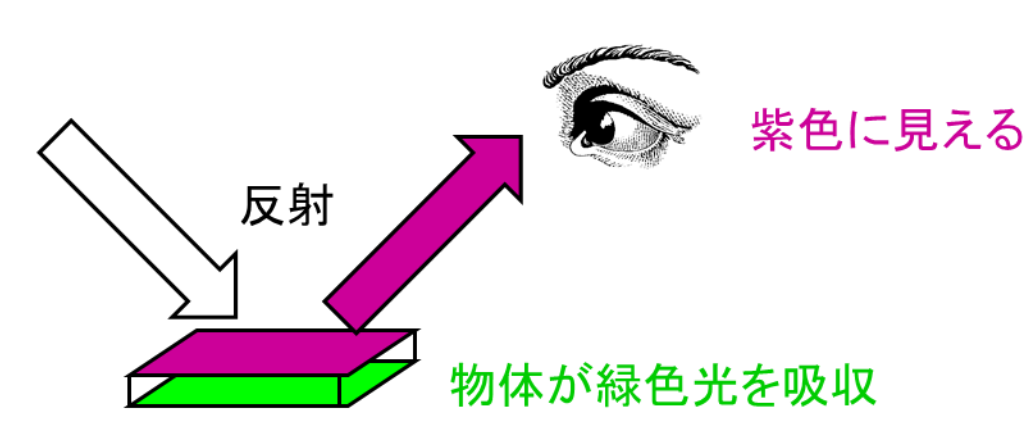
## それでは,

☆ 白色光 - 赤 = 青緑

☆ 白色光 - 緑 = 紫色

☆ 白色光 - 青 = 黄色

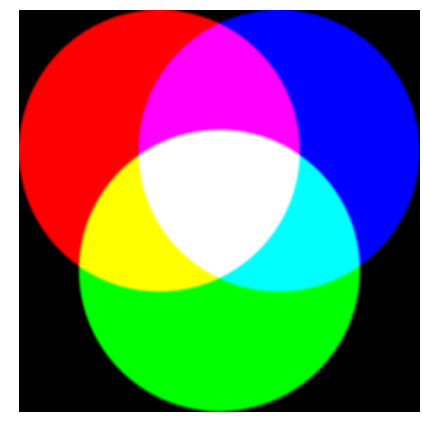
「補色」



#### 電磁波スペクトルの領域

紫外 200~400 nm 可視 400~800 nm

紫外・可視は極めて狭い範囲である。



#### 光のエネルギー

#### $E = hv = hc/\lambda = hc\sqrt{}$

(1個の光子のエネルギー)

 $h = 6.63 \times 10^{-34} \text{ J} \cdot \text{s}$  (プランク定数)

 $\lambda$  (m)× $\nu$  (1/s)= c (m/s)

v: 振動数

λ: 波長

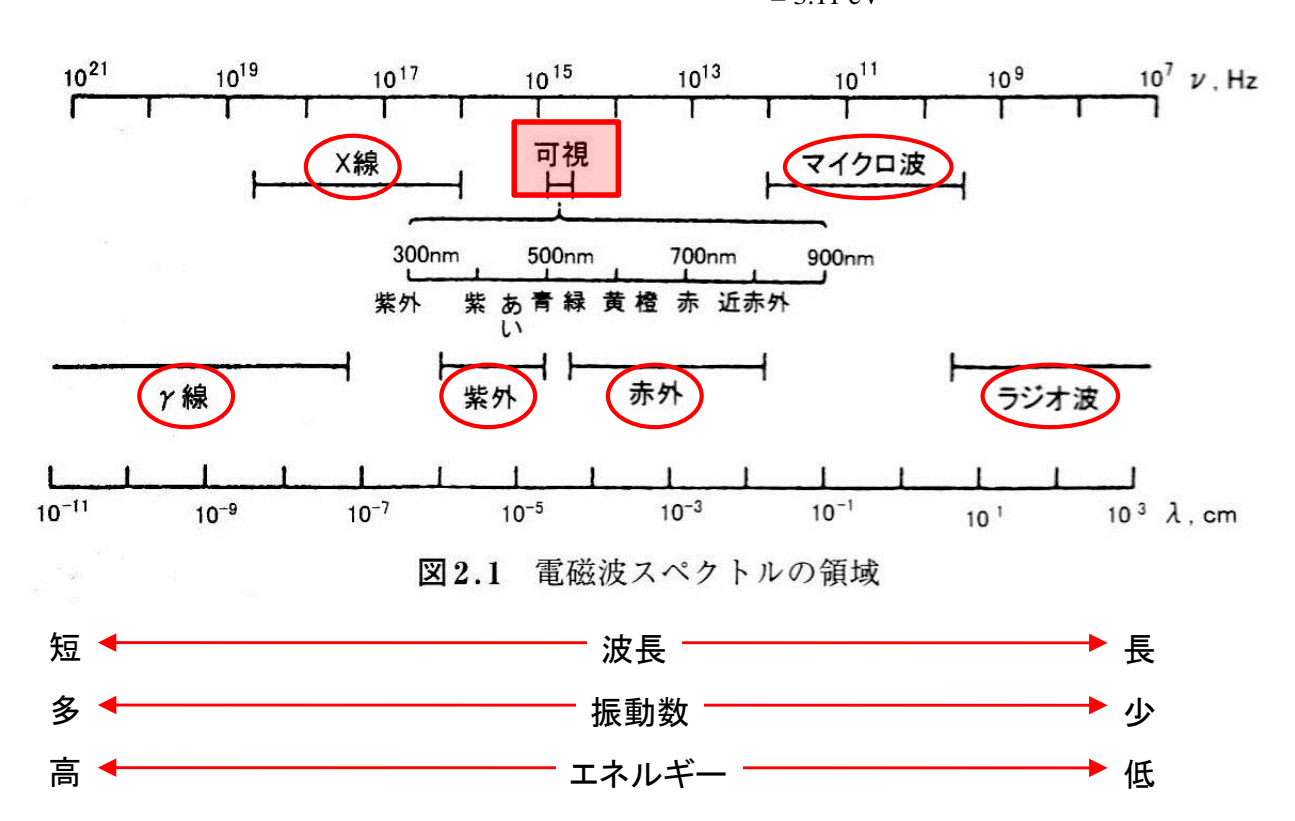
c: 光速 (真空中では c = 3.00x10<sup>8</sup> m/s

▼: 波数 (1/λ) (赤外やラマンのエネルギー表示に用いられる)

400 nm の光のエネルギーは?

E =  $h c v = 6.63 x 10^{-34} (J \cdot s) x 3.00 x 10^8 (m/s) x 2,500,000 (1/m) = 4.97 x 10^{-19} J$ 1.0 J =  $6.25 \times 10^{18} eV$ 

= 3.11 eV



いろいろな電磁波で何が見えるのか?

γ線→原子核

X 線→内核電子

紫外·可視→外殼電子

赤外→分子振動

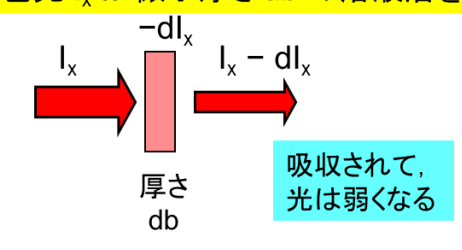
マイクロ波→電子スピン

ラジオ波→核スピン

電磁波のエネルギーによって見える現象は異なる。

#### ランベルトーベールの法則

## 単色光 I、が微小厚さdb の溶液層を通過する時、その一部 dl、が吸収される

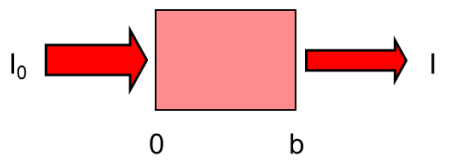


$$-dI_x = k_1 I_x db$$

吸収はl<sub>x</sub> db に比例 k₁は比例定数

$$\frac{dI_x}{I_x} = -k_1 db$$

dbが0~bまで変化する時、光の強度はIo~Iに変化



$$\int \int_{I_0}^{I} \frac{dI}{I_x} \int_{I_0}^{b} -k_1 db$$

$$\ln \frac{1}{I_0} = 2.303 \log \frac{1}{I_0} = -k_1 b$$

$$\log \frac{1}{I_0} = \frac{-k_1}{2.303} b$$

Lambertの法則 透過光の強度|は 溶液層の厚さとともに指数関数的に減少

色の濃い薄い

## 溶質層の厚さ = 溶質分子の数(n) と考えると

厚さが一定(bが一定)の時は、nは溶液の濃度(c)に比例する

## Beerの法則

透過光の強度は溶液の濃度とともに指数関数的に減少

$$\log \frac{1}{I_0} = -k_2 c$$

物質の濃度:  $C_1 < C_2 < C_3$ 

吸光度 A

Tは通常%で示す T, Aとも無次元

溶質層の厚さと溶液濃度 は独立しているので、

#### 吸収スペクトル

Eint = Erot + Evib + Eelec

#### 分子吸収

紫外可視の吸収で見えるもの→外殻電子の遷移 分子軌道→σ電子、π電子、n電子

σ:結合性のσ軌道

σ\*: 反結合性のσ軌道

π:結合性のπ軌道

π\*:反結合性のπ軌道

n: 孤立電子(非共有電子対)の軌道

各エネルギー準位

 $\sigma^*$ 

n ————

σ —

許容遷移と禁制遷移

許容遷移

σ-σ\*遷移

π-π\*遷移

n-π\*遷移

n-σ\*遷移

 $\sigma-\pi^*$ 、 $\pi-\sigma^*$ は禁制遷移(起こらないという意味ではない)

問題:どういう分子が紫外、可視で吸収を示すか?

答:  $\pi$ 電子をもつ、n電子をもつ。多重結合、N, O. S,  $\Lambda$ ロゲン。

σ-σ\*遷移の例 CH<sub>3</sub>CH<sub>2</sub>CH<sub>3</sub>、135 nm。

n-σ\*遷移の例 CH<sub>3</sub>Cl(塩化メチル) 173 nm、CH<sub>3</sub>OH 183 nm, (CH<sub>3</sub>)<sub>3</sub>N 199 nm

π-π\*遷移の例 2-オクチン 195 nm & 223 nm

#### アセトン

$$\pi$$
- $\pi$ \*遷移  $H_3C$   $H_3C$ 

#### 発色基と助色基

#### 深色効果と淡色効果

発色基:近紫外~可視光を吸収する官能基(不飽和結合をもつ)

助色基: 非共有電子対をもつ官能基(-OH、NH<sub>2</sub>、-Cl など)

発色基+助色基→長波長シフト (深色効果)、吸光度の増加 分子に陽電荷を入れた場合や溶媒を非極性から極性に変える→短波長側にシフト(淡色効果)

#### 発色基の例

ポリエン 共役二重結合が増加するほど、長波長にシフト

 $H_2$ C  $CH_2$   $CH_2$ 

## 金属イオン

- 1) d-d 吸収バンド
- d 軌道間での電子遷移(あまり強くない)
- 2) 配位子吸収バンド

配位子のπ-π\*遷移、n-π\*遷移 (強い吸収;金属イオンの分析)

#### 3) 電荷移動吸収バンド

配位子の分子軌道-金属の d 軌道間の遷移 (強い吸収;金属イオンの分析)

表 2.2 参照

## 測定装置

光源 (可視部; タングステン,紫外部; 重水素) 分光部 測光部

シングルビームとダブルビーム (教科書の図参照)

## 測定

1. 吸収スペクトル 波長 vs.吸光度 (波長 vs.透過率)

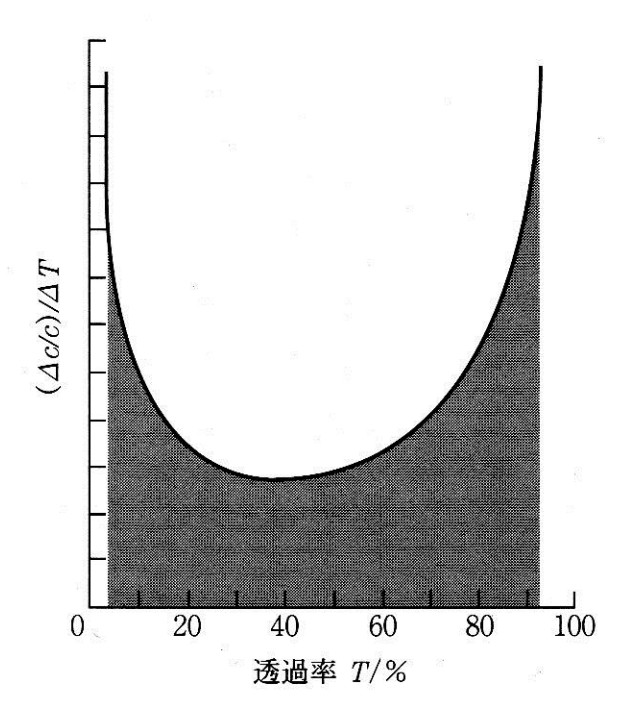


図 2.2 吸光光度法の理論的精度と 透過率

T / %	Α	透過率100%付近では,
100	0.000	分母のAが小さくなる
90	0.046	<b>†</b>
80	0.097	
50.1	0.300	◆ 0.1%の光強度の差は
50	0.301	吸光度差で0.001
10	1.000	
1	2.000	•
0.2	2.699	◆ 0.1%の光強度の差は
0.1	3.000	→ 吸光度差で~0.3
0.000	∞	

吸光度を0.05~1.0の範囲で測定できると、信頼性が高い 吸光光度法の特徴

## 利点

- ・光源の強度に依存しない
- ・測定に時間を要さない
- ・測定に熟練を要さない
- ・費用が比較的安い(装置も含めて)

#### 欠点

感度がそれほど高くない

成分を特定できない(定性分析には向かない)

選択性が低い(前分離、マスキングが必要)

#### 吸光光度法でなにができるか?

例)

#### 1. 定量分析

Fe

硫酸第一鉄アンモニウム六水和物  $(NH_4)_2Fe(SO_4)_2 \cdot 6H_2O$   $\rightarrow$  モール 塩 Fe2+の一次標準物質

 $CH_3COOH-CH_3COONa$  を用いて、 $pH\sim5$  の緩衝溶液を調製 検量線の作成

1. Fe(NH<sub>4</sub>)<sub>2</sub>(SO<sub>4</sub>)<sub>2</sub>·6H<sub>2</sub>O を HCl 酸性溶液として調製 加水分解沈殿の防止

最終濃度が  $0, 2, 4, 6, 8 \times 10^{-5} \,\mathrm{M}$  になるように、メスフラスコに採取

 $[Fe(phen)_3]^{2+}$ 

1:3錯体 正八面体

 $\varepsilon = 1.1 \times 10^4 (510 \text{ nm})$ 

赤色錯体

- 2. 1,10-フェナントロリン塩酸塩を用いて、溶液を調製 最終濃度が  $4x10^{-4}\,M$  になるように、メスフラスコに採取
- 3.  $CH_3COOH-CH_3COONa$  を用いて、 $pH\sim5$  の緩衝溶液を調製 最終濃度が  $0.1\,M$  になるように、メスフラスコに採取
- 4. 510 nm で吸光度測定

試料の測定

- 1. 試料を HCl 酸性として沸騰  $Fe_2O_3 \rightarrow Fe^{3+}$  イオンに分解
- 2.  $NH_2OH \cdot HCl$  を添加  $Fe^{3+}$   $\rightarrow$   $Fe^{2+}$  に還元
- 3. 1,10-フェナントロリン, 酢酸緩衝溶液を加え, 静置後, 510 nm で吸光度測定

#### 2. 酸解離定数の測定

メチルオレンジの酸解離定数の測定

$$H_3C$$
 $H_3C$ 
 $H_3C$ 

酸性側:HIn(赤色) アルカリ性側:In-(黄色)

HIn の全濃度を  $C_{HIn}$  (一定) として、pH を変化させる。

全てが HIn の時(pKa>>pH)  $A_{510} = A_{HIn,510} = \epsilon_{HIn,510} C_{HIn}$ 

全てが  $In^-$ の時(pKa << pH)  $A_{510} = A_{In, 510} = \epsilon_{In, 510} C_{HIn}$ 

等吸収点(波長をXとする) では

 $\epsilon_{In,\;X}=\epsilon_{HIn,\;X}$ 

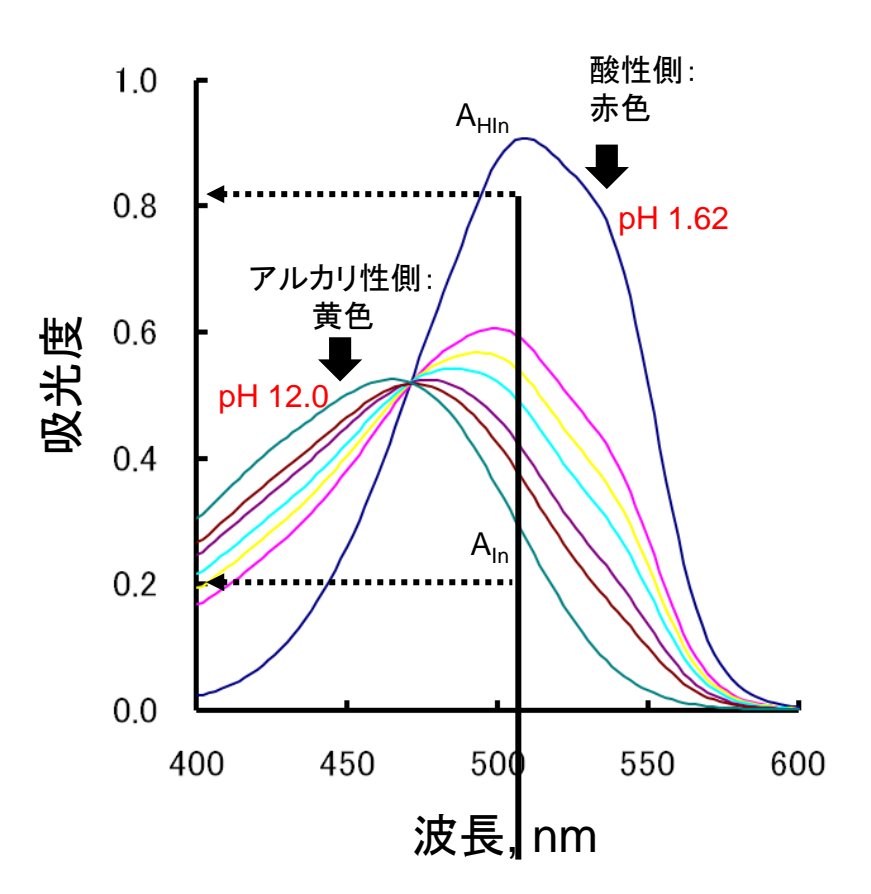
$$\begin{split} A_{510} &= \epsilon_{HIn}[HIn] + \epsilon_{In}[In^{-}] \\ &= \epsilon_{HIn}(C_{HIn} - [In^{-}]) + \quad \epsilon_{In}[In^{-}] \end{split}$$

$$[In^{-}] = \frac{A - A_{HIn}}{\epsilon_{In} - \epsilon_{HIn}}$$

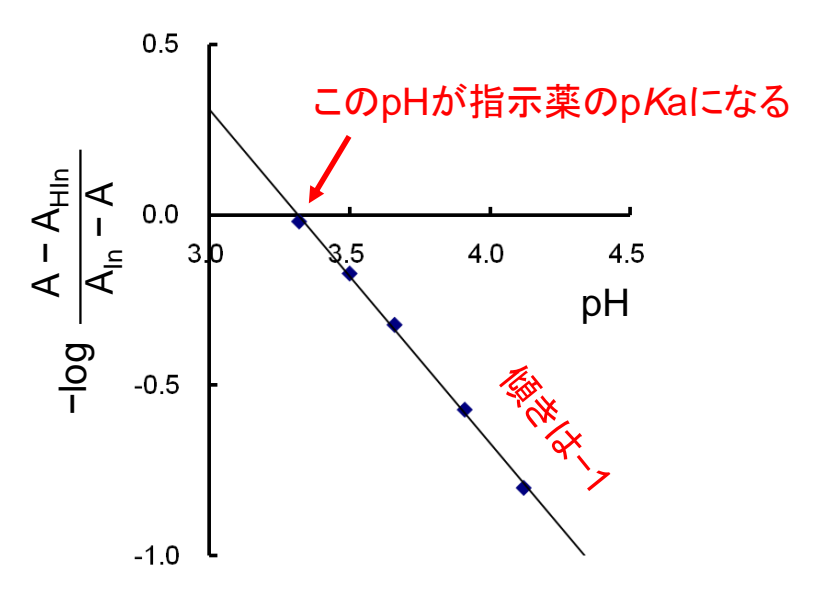
$$\begin{split} A &= \epsilon_{HIn}[HIn] + \epsilon_{In}[In^{-}] \\ &= \epsilon_{HIn}[HIn] + \epsilon_{In}(C_{HIn} - [HIn]) \end{split}$$

$$[HIn] = \frac{A_{ln} - A}{\epsilon_{ln} - \epsilon_{Hln}}$$

$$Ka = \frac{(A - A_{HIn})[H^{+}]}{A_{In} - A} \frac{A - A_{HIn}}{A_{In} - A} = Ka / [H^{+}]$$



pH変化に伴う吸収スペクトル



問題

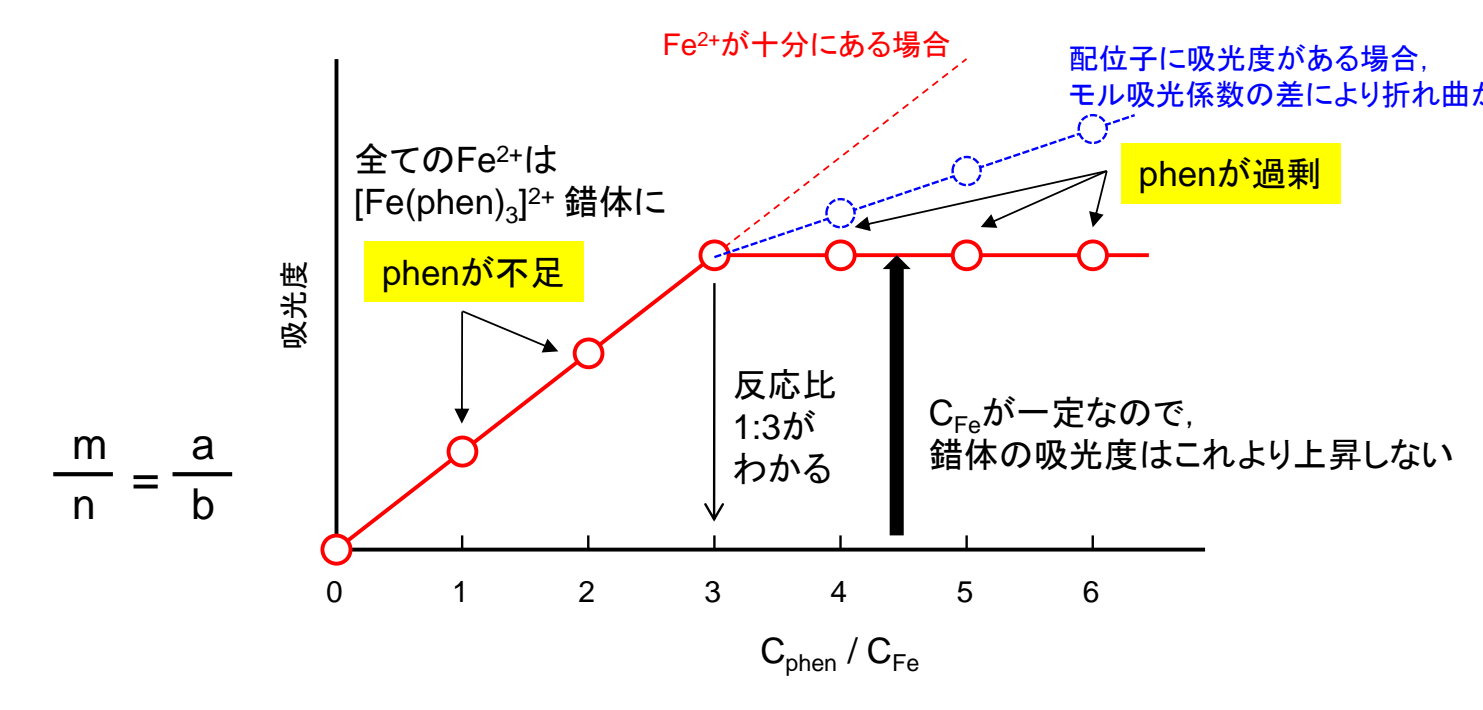
pН	A <sub>510</sub>
(HA)	0.9081
3.32	0.5802
3.50	0.5246
3.66	0.4733
3.91	0.4021
4.12	0.354
(A <sup>-</sup> )	0.2664

## 2. 錯体の組成決定

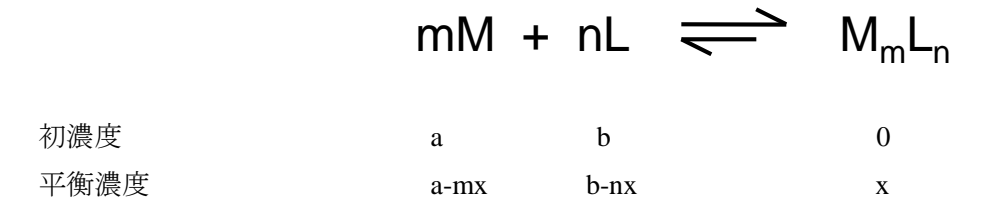
モル比法と連続変化法

モル比法

 $Fe^{2+}$ 濃度  $(C_{Fe})$  を一定にして、添加する phen 濃度を変化させる



連続変化法



a + b = c (一定濃度) で実験

のとき錯体の生成量は最大

a と b の比率を変えて錯体の吸光度を測定する。

4	. 4	ブロ	7 広
	I . I		と ルト

а	b	ML
0.0	1.0	0.0
0.1	0.9	0.1
0.2	8.0	0.2
0.3	0.7	0.3
0.4	0.6	0.4
0.5	0.5	0.5
0.6	0.4	0.4
0.7	0.3	0.3
8.0	0.2	0.2
0.9	0.1	0.1
1.0	0.0	0.0

а	b	$ML_2$
0.0	1.0	0.0
0.1	0.9	0.1
0.2	8.0	0.2
0.3	0.7	0.3
0.4	0.6	0.3
0.5	0.5	0.25
0.6	0.4	0.2
0.7	0.3	0.15
8.0	0.2	0.1
0.9	0.1	0.05
1.0	0.0	0.0
	2	1

а	b	$ML_3$
0.0	1.0	0.0
0.1	0.9	0.1
0.2	0.8	0.2
0.3	0.7	0.23
0.4	0.6	0.2
0.5	0.5	0.17
0.6	0.4	0.13
0.7	0.3	0.1
0.8	0.2	0.07
0.9	0.1	0.03
1.0	0.0	0.0

$$\frac{a}{a+b} = \frac{1}{2}$$

$$\frac{a}{a+b} = \frac{1}{3}$$

$$\frac{a}{a+b} = \frac{1}{4}$$

# 最大点(折れ曲がりの点)から 反応比を決定できる

